

## ДИФРАКЦИЯ И РАССЕЯНИЕ ИОНИЗИРУЮЩИХ ИЗЛУЧЕНИЙ

УДК 548.73, 538.97

### К РЕШЕНИЮ ОБРАТНОЙ ЗАДАЧИ ДИФРАКЦИОННОЙ РЕНТГЕНОВСКОЙ ТОПО-ТОМОГРАФИИ. КОМПЬЮТЕРНЫЕ АЛГОРИТМЫ И 3D-РЕКОНСТРУКЦИЯ НА ПРИМЕРЕ КРИСТАЛЛА С ТОЧЕЧНЫМ ДЕФЕКТОМ КУЛОНОВСКОГО ТИПА

© 2019 г. П. В. Конарев<sup>1,2,\*</sup>, Ф. Н. Чуховский<sup>1,\*\*</sup>, В. В. Волков<sup>1</sup>

<sup>1</sup>Институт кристаллографии им. А.В. Шубникова ФНИЦ “Кристаллография и фотоника” РАН, Москва, Россия

<sup>2</sup>Национальный исследовательский центр “Курчатовский институт”, Москва, Россия

\* E-mail: konarev@crys.ras.ru

\*\* E-mail: f\_chukhov@yahoo.ca

Поступила в редакцию 06.04.2018 г.

После доработки 17.04.2018 г.

Принята к публикации 17.04.2018 г.

На основе полукинематического решения уравнений Такаги–Топена для амплитуды дифрагированной  $\sigma$ -поляризованной волны предложен последовательный подход к решению обратной задачи дифракционной рентгеновской топо-томографии. Рассмотрен пример точечного дефекта кулоновского типа в кристаллической пластине Si(111) в условиях симметричной лауэ-дифракции и набора наклонных двумерных топографических проекций, отвечающих вращению плоскопараллельного кристалла-образца вокруг вектора дифракции  $[220]$ . Для компьютерной реконструкции трехмерной функции поля смещений вокруг точечного дефекта использованы итерационные алгоритмы моделирования отжига и квазиньютоновского типа. Представлены результаты компьютерного моделирования функции поля смещений по данным одной 2D-проекции, отвечающей изображению точечного дефекта на рентгеновской топограмме в классическом смысле рентгеновской дифракционной топографии.

DOI: 10.1134/S0023476119020176

#### ВВЕДЕНИЕ

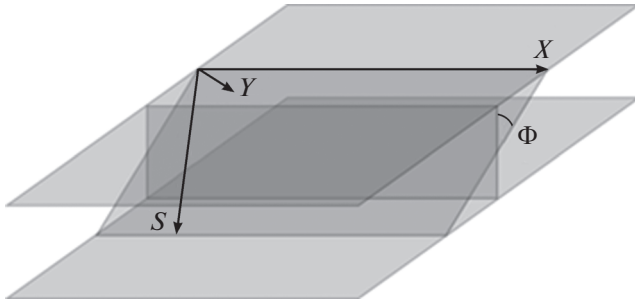
Как известно [1–6], дифракционная рентгеновская топография (ДРТ) является высокочувствительным неразрушающим инструментом диагностики различных дефектов кристаллической решетки, таких как полосы роста, границы зерен, дефекты упаковки, отдельные включения и дислокации различного типа. Все эти дефекты приводят к изменению положений отдельных атомов кристаллической структуры относительно их правильного положения. При этом в схемах лауэвской и/или брэгговской дифракции реальная структура кристалла изучается по его 2D-проекциям. Как правило, для интерпретации и анализа экспериментальных ДРТ-изображений дефектов на 2D-проекциях они сопоставляются с 2D-проекциями, рассчитанными на основе компьютерного моделирования изображений дефектов с использованием численных методов решения динамических уравнений Такаги–Топена [1–3, 6–8].

В последние 20 лет в структурном анализе реальных кристаллов широко применяется метод дифракционной рентгеновской топо-томографии (ДРТТ). В методе ДРТТ кристалл-образец

поворачивается вокруг оси, перпендикулярной семейству отражающих плоскостей кристалла (ось вращения выбирается вдоль вектора дифракции  $\mathbf{h}$ ). Поэтому при различных значениях соответствующего угла поворота получается набор дифракционных 2D-проекций, каждая из которых отвечает разным ориентациям плоскости дифракционного рассеяния рентгеновского излучения по отношению к собственной системе координат кристалла-образца (рис. 1).

Первые ДРТТ-эксперименты были успешно выполнены на синхротронных источниках рентгеновского излучения ESRF [9] и SPring-8 [10], а затем и в России на лабораторных установках с использованием характеристического рентгеновского излучения [11, 12]. При этом для компьютерной 3D-реконструкции дефекта в кристалле по соответствующему набору 2D-проекций ДРТ использовались различные модификации алгоритмов поглощающей томографии [13].

Особый интерес, напрямую связанный с применением метода ДРТТ, представляет идея компьютерной реконструкции пространственного положения дефектов в кристалле, а также, что



**Рис. 1.** Схема взаимного расположения плоскопараллельной пластины кристалла-образца и тригональной системы координат  $XYS$ , связанной с наклонной плоскостью дифракционного рассеяния.  $\Phi$  – угол поворота образца вокруг вектора дифракции  $\mathbf{h}$ .

особенно важно, локальных полей смещений (напряжений) вокруг дефектов в кристаллических веществах.

И здесь компьютерная 3D-реконструкция по экспериментальным данным ДРТТ в равной, если не в большей, степени связана с теми же трудностями, что и интерпретация картин изображения дефектов на 2D-проекциях ДРТ (топограммах) из-за сложного механизма формирования дифракционного контраста, отвечающего различным областям вокруг дефектов в кристаллах [1, 2].

В этой связи представляются важными нахождение и использование аппроксимационных аналитических решений уравнений Такаги–Топена, которые позволили бы с достаточной точностью описать особенности контраста дефектов на ДРТ-топограммах, связанные с формированием контраста в той или иной области кристалла вблизи дефекта, что стало бы ключевым моментом для решения обратной задачи ДРТТ, в частности компьютерной 3D-реконструкции функции поля смещений вокруг дефектов.

Настоящая работа посвящена построению аппроксимационного аналитического решения уравнений Такаги–Топена, на базе которого строится решение обратной задачи ДРТТ.

Затем с использованием полукинематического приближения для амплитуды дифрагированной  $\sigma$ -поляризованной волны  $E_{\mathbf{h}}(\mathbf{r})$  построена теория 3D-реконструкции функции поля упругих статических смещений  $\mathbf{u}(\mathbf{r} - \mathbf{r}_0)$  точечного дефекта кулоновского типа ( $\mathbf{r}_0$  – радиус-вектор положения точечного дефекта в кристалле).

На примере одной 2D-проекции с вектором дифракции  $\mathbf{h} = [\bar{2}20]$  для кристалла Si(111) с применением итерационных алгоритмов моделирования отжига [14] и квазиньютоновского спуска [15, 16] найдено решение обратной задачи ДРТТ, а именно, проведена компьютерная реконструкция трехмерной функции поля смещений точечного дефекта,  $f(\mathbf{r} - \mathbf{r}_0) = \mathbf{h} \cdot \mathbf{u}(\mathbf{r} - \mathbf{r}_0)$ .

Отметим, что первая попытка трехмерной реконструкции статического поля точечного дефекта в кристалле была предпринята в [17], где использовался алгоритм модифицированного алгебраического метода (алгоритм SART [11]), широко применяемого в поглощающей рентгеновской томографии. К сожалению, оказалось, что трехмерные решения для функции поля смещений точечного дефекта, полученные с использованием алгоритма SART, сходятся только при ограниченном количестве разбиений области кристалла вокруг точечного дефекта (не более чем  $5 \times 5 \times 5 = 125$  вокселей).

## 2D-ИЗОБРАЖЕНИЕ ТОЧЕЧНОГО ДЕФЕКТА В КРИСТАЛЛЕ В УСЛОВИЯХ НАКЛОННОЙ СИММЕТРИЧНОЙ ЛАУЭ-ДИФРАКЦИИ. ПОЛУКИНЕМАТИЧЕСКОЕ ПРИБЛИЖЕНИЕ

Целью данного раздела является построение решения динамических уравнений Такаги–Топена в полукинематическом приближении, которое будет использовано в качестве базового для трехмерной реконструкции поля статических смещений по наклонным 2D-проекциям ДРТ.

Как известно [1–3], и это подтверждается неоднократно численными расчетами [16], прямое изображение дефекта в кристалле, если оно есть, обусловлено межветвевым рассеянием блоховских рентгеновских волн в сильно искаженной области кристалла непосредственно вблизи дефекта, что можно интерпретировать как кинематическое рассеяние блоховских волн, распространяющихся в совершенном кристалле вдали от центральной области дефекта.

Для наглядности, а также с целью избежать громоздких формул и вычислений ограничимся рассмотрением распространения  $\sigma$ -поляризованного рентгеновского волнового поля внутри искаженного кристалла, который “в среднем” находится в точном брэгговском положении.

В рассматриваемом случае распространение рентгеновского волнового поля внутри искаженного кристалла в условиях симметричной двухволновой лауэ-дифракции описывается уравнениями Такаги–Топена [7, 8]:

$$\begin{aligned} -\frac{2i}{k} \frac{\partial E_0}{\partial s_0} &= \chi_0 E_0 + \chi_{\bar{h}} e^{-i\mathbf{h}\mathbf{u}(\mathbf{r})} E_{\mathbf{h}} - \frac{2i}{k} \delta(s_0 + s_{\mathbf{h}}), \\ -\frac{2i}{k} \frac{\partial E_{\mathbf{h}}}{\partial s_{\mathbf{h}}} &= \chi_0 E_{\mathbf{h}} + \chi_{\mathbf{h}} e^{i\mathbf{h}\mathbf{u}(\mathbf{r})} E_0 \end{aligned} \quad (1)$$

вместе с граничными условиями на входной поверхности кристалла  $z = 0$  в виде

$$\begin{aligned} E_0(-s_{\mathbf{h}}, s_{\mathbf{h}}) &= 1, \\ E_{\mathbf{h}}(-s_{\mathbf{h}}, s_{\mathbf{h}}) &= 0. \end{aligned} \quad (2)$$

Граничные условия (2) можно непосредственно учесть, модифицируя уравнения (1), в частности добавляя в правую часть первого уравнения дополнительный член  $-\frac{2i}{k} \delta(s_0 + s_h)$ .

Используя известные подстановки  $E_0 \rightarrow E_0 e^{ik\chi_0 \frac{s_0+s_h}{2}}$ ,  $E_h \rightarrow E_h e^{ik\chi_h \frac{s_0+s_h}{2}}$  и сохраняя для амплитуд проходящей и дифрагированной волн  $E_0(s_0, s_h)$ ,  $E_h(s_0, s_h)$  прежние обозначения, легко показать, что амплитуда дифрагированной волны  $E_h(s_0, s_h)$  удовлетворяет неоднородному дифференциальному уравнению гиперболического типа в частных производных второго порядка

$$\frac{\partial^2 E_h}{\partial s_0 \partial s_h} + \frac{\chi_h \chi_{\bar{h}} k^2}{4} E_h = \frac{ik\chi_h}{2} e^{i\mathbf{h}\mathbf{u}(\mathbf{r})} \delta(s_0 + s_h) + \frac{ik\chi_h}{2} E_0 \frac{\partial e^{i\mathbf{h}\mathbf{u}(\mathbf{r})}}{\partial s_0}. \quad (3)$$

Здесь  $E_0(s_0, s_h)$  и  $E_h(s_0, s_h)$  – амплитуды проходящей и дифрагированной волн в среде, зависящие от координат  $s_0, s_h$  в плоскости рассеяния;  $\frac{\partial}{\partial s_0}$  и

$\frac{\partial}{\partial s_h}$  – производные вдоль направлений проходящей и дифрагированной волн, удовлетворяющих точному условию Брэгга;  $\theta_B$  – угол Брэгга;  $\chi_0, \chi_h, \chi_{\bar{h}}$  – нулевая,  $h$  и  $\bar{h}$  компоненты Фурье диэлектрической проницаемости совершенного кристалла соответственно;  $k = 2\pi/\lambda$ ,  $\lambda$  – длина волны падающего излучения;  $\mathbf{u}(\mathbf{r})$  – вектор поля смещений, описывающий искажение идеальной кристаллической структуры;  $\mathbf{k}_0$  – волновой вектор плоской волны, падающей на кристалл-образец в точном брэгговском положении;  $\mathbf{s}_0 = \frac{\mathbf{k}_0}{k_0}$ ,  $\mathbf{s}_h = \frac{\mathbf{k}_h}{k_h}$ ;  $\mathbf{h}$  – вектор дифракции.

Интересует поле упругих статических смещений точечного дефекта кулоновского типа  $\mathbf{u}(\mathbf{r} - \mathbf{r}_0)$ , которое имеет следующий вид:

$$\mathbf{u}(\mathbf{r} - \mathbf{r}_0) = \frac{C}{4\pi|\mathbf{r} - \mathbf{r}_0|^3} (\mathbf{r} - \mathbf{r}_0), \quad C = \text{const}, \quad (4)$$

где  $\mathbf{r}_0$  – радиус-вектор положения точечного дефекта.

В качестве модельного кристалла выбрана плоскопараллельная пластина Si(111), вектор дифракции  $\mathbf{h} = [\bar{2}20]$ , длина волны падающего рентгеновского характеристического излучения  $\lambda = 0.071$  нм. Использовалась лабораторная рентгеновская трубка с молибденовым анодом, энергия излучения 17.48 КэВ;  $\Lambda$  – длина экстинкции, равная 36.287 мкм, угол Брэгга  $\theta_B = 10.65^\circ$ .

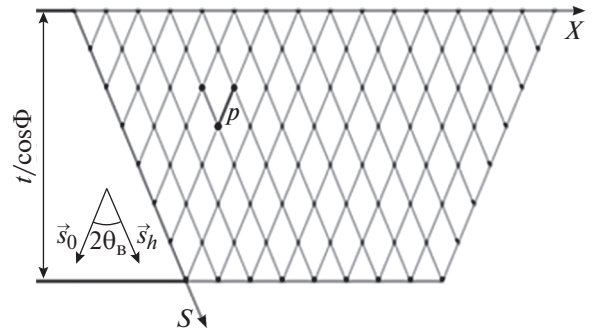


Рис. 2. Косоугольные координаты  $X, S$  в наклонной плоскости дифракционного рассеяния;  $t$  – толщина образца,  $\theta_B$  – угол Брэгга.

Отметим, что второй член в правой части первого из двух уравнений Такаги–Топена отвечает плоской волне  $E_0(\mathbf{r}) = e^{i\mathbf{k}_0\mathbf{r}}$ , падающей на входную поверхность кристалла  $z = 0$ .

На рис. 2 показана дискретная треугольная сетка, построенная на векторах  $\mathbf{s}_0, \mathbf{s}_h$  с одинаковым шагом  $p$ , которая может быть использована для компьютерного моделирования и анализа наклонных 2D-проекций ДРТ на основе численного решения уравнений Такаги–Топена (1) с граничными условиями (2) в переменных  $S, X$  [11].

Отметим, что  $S, X$  – координаты косоугольной системы координат  $SXY$  (ось  $Y$  перпендикулярна плоскости  $(SX)$ ), связаны с координатами  $s_0, s_h$  линейными соотношениями

$$s_0 + \cos 2\theta_B s_h = \cos 2\theta_B S - X, \\ \cos 2\theta_B s_0 + s_h = S + \sin \theta_B X$$

Уравнение (3) можно записать в интегральной форме, вводя в рассмотрение функцию Грина, описывающую распространение дифрагированного излучения в идеальном кристалле от точечного источника в треугольной области (треугольник Бормана) с вершиной в точке  $(s'_0, s'_h)$  характеристиками вдоль направлений  $\mathbf{s}_0 = \frac{\mathbf{k}_0}{k}$ ,  $\mathbf{s}_h = \frac{\mathbf{k}_h}{k}$  ( $k = k_0 = k_h$ ), а именно:

$$E_h(s_0, s_h) = \frac{ik}{2} \chi_h \int_{-s_0}^{s_h} ds'_h \int_{-s'_h}^{s'_0} ds'_0 J_0 \times \\ \times (k \sqrt{\chi_h \chi_{\bar{h}} (s_0 - s'_0)(s_h - s'_h)}) \times \\ \times \left[ \delta(s'_0 + s'_h) e^{i\mathbf{h}\mathbf{u}(s'_0, s'_h)} + \frac{E_0(s'_0, s'_h) \frac{\partial e^{i\mathbf{h}\mathbf{u}(s'_0, s'_h)}}{\partial s'_0}}{E_0(s'_0, s'_h)} \right], \quad (5)$$

где  $J_0(u)$  – функция Бесселя нулевого порядка действительного аргумента  $u$ .

Дальнейшее рассмотрение компьютерной реконструкции 3D-поля статических смещений точечного дефекта (4) основывается на утверждении, что в области сильных искажений вблизи дефекта рассеяние носит кинематический характер, что обусловлено межветвевым рассеянием блоховских волн вблизи дефекта [1–6]. При этом волновое поле, формирующее так называемое “прямое” изображение дефекта на 2D-проекциях ДРТ, распространяется вдоль направления поля дифрагированной волны  $s_h = \frac{\mathbf{k}_h}{k}$ .

Математически это означает, что для описания прямого ДРТ-изображения дефекта соответствующее выражение для амплитуды дифрагированной волны может быть найдено в результате интегрирования по частям второго члена в квадратных скобках в правой части интегрального уравнения (5).

Кроме того, ограничиваясь только первым членом двойного интеграла в правой части (5), находим

$$E_h(s_0, s_h) = \frac{ik}{2} \chi_h \int_{-s_0}^{s_h} ds'_h E_0(s_0, s'_h) e^{i\mathbf{h}\mathbf{u}(s_0, s'_h)}. \quad (6)$$

Далее, следуя предположению, что прямое изображение дефекта на 2D-проекциях ДРТ отвечает кинематическому рассеянию проходящей волны в области сильных искажений вблизи дефекта, в правой части интегрального уравнения (6) амплитуду проходящей волны в первом приближении можно заменить на соответствующее выражение для идеального кристалла, т.е.  $E_0(s_0, s'_0) \rightarrow E_0^{(id)}(s_0, s'_h)$ , где  $E_0^{(id)}(s_0, s'_h)$  есть не что иное, как решение для амплитуды проходящей волны в идеальном кристалле соответственно:

$$E_0^{(id)}(s_0, s'_h) = \cos \left[ k \sqrt{(\chi_h \chi_{-h})} \frac{(s_0 + s'_h)}{2} \right] \quad \text{и}$$

$$E_h^{(id)}(s_0, s'_h) = i \sqrt{\frac{\chi_h}{\chi_{-h}}} \cos \left[ k \sqrt{(\chi_h \chi_{-h})} \frac{(s_0 + s'_h)}{2} \right].$$

Таким образом, для компьютерной 3D-реконструкции поля статических искажений вблизи точечного дефекта (4) для амплитуды дифрагированной волны будем использовать выражение

$$E_h(s_0, s_h) = \frac{ik}{2} \chi_h \int_{-s_0}^{s_h} ds'_h E_0^{(id)}(s_0, s'_h) e^{i\mathbf{h}\mathbf{u}(s_0, s'_h)}. \quad (7)$$

Формула (7) для амплитуды  $E_h(s_0, s_h)$  описывает кинематическое рассеяние проходящей волны  $E_0^{(id)}(s_0, s'_h)$  сильно искаженной области вблизи дефекта, которая представляет собой фазовый объект. При этом волна  $E_h(s_0, s_h)$  распространяется вдоль направления дифрагированной волны  $s_h = \frac{\mathbf{k}_h}{k}$ . Таким образом, формула (7), полученная в полукинематическом приближении, будет использоваться для описания 2D-проекций ДРТ в той части, которая формируется за счет рассеяния рентгеновской волны в сильно искаженной области кристалла вблизи дефекта.

Для проведения численных расчетов выберем начало системы координат  $s_0, s_h$  в левой верхней вершине трапеции (рис. 2) и введем косоугольную аффинную систему координат  $XYS$  (ср. с рис. 1), в которой ось  $X$  направлена вдоль вектора дифракции  $\mathbf{h}$ , а ось  $S$  вдоль вектора  $s_h$ , ось  $Y$  перпендикулярна плоскости  $XS$ .

При этом связь между координатами  $s_0, s_h$  и  $X, S$  задается соотношениями

$$s_0 = -\frac{X}{2 \sin \theta_B}, \quad s_h = S + \frac{X}{2 \sin \theta_B}. \quad (8)$$

Кроме соотношений (8) потребуются соотношения между координатами  $s_0, s_h$  и  $x, Z$ , а именно:

$$s_0 = \frac{1}{2} \left( \frac{Z}{\cos \theta_B} - \frac{x}{\sin \theta_B} \right), \quad (9)$$

$$s_h = \frac{1}{2} \left( \frac{Z}{\cos \theta_B} + \frac{x}{\sin \theta_B} \right).$$

Имея в виду компьютерную 3D-реконструкцию функции упругих статических смещений точечного дефекта  $f(\mathbf{r} - \mathbf{r}_0)$  по данным наблюдаемых 2D-проекций,  $I_h(s_0, s_h) = |E_h(s_0, s_h)|^2$ , запишем формулу (7) в переменных  $X, y, z$  (ось вращения проходим через точку  $r_0 = (x_0, y_0, z_0)$ )

$$E_h(X, y, z; \theta_B, \Phi) = \frac{ik}{2 \cos \theta_B \cos \Phi} \chi_h \times \int_0^T dz \cos \left[ k \sqrt{(\chi_h \chi_{-h})} \frac{z}{2 \cos \theta_B} \right] e^{i\mathbf{f}(\mathbf{r}-\mathbf{r}_0)}, \quad (10)$$

где  $\Phi$  – угол вращения образца вокруг вектора дифракции  $\mathbf{h}$ , функция  $f(\mathbf{r} - \mathbf{r}_0)$  определяется следующим выражением (ср. (4)):

$$f(\mathbf{r} - \mathbf{r}_0) = G \frac{X - X_0 + \frac{\text{tg } \theta_B}{\cos \Phi} (z - z_0)}{\left( \left( X - X_0 + \frac{\text{tg } \theta_B}{\cos \Phi} (z - z_0) \right)^2 + (y - y_0 + \text{tg } \Phi (z - z_0))^2 + (z - z_0)^2 \right)^{3/2}}, \quad G = \text{const.} \quad (11)$$

Отметим, что координаты  $x, y, z$  “жестко” связаны с декартовыми координатами в кристалле.

В формуле (11) в явной форме учтена зависимость функции поля смещений точечного дефекта (4) в переменных  $X, y, z$  от угловых параметров  $\theta_B, \Phi$ .

Теоретическая формула (10) для амплитуды дифрагированной волны  $E_n(X, y, z; \theta_B, \Phi)$  наряду с формулой (11) для функции поля смещений точечного дефекта  $f(\mathbf{r} - \mathbf{r}_0)$  в области сильных искажений является основным выражением для решения обратной задачи ДРТТ.

Имея в виду компьютерную 3D-реконструкцию функции  $f(\mathbf{r} - \mathbf{r}_0)$  на основе минимизации целевой  $\chi^2$ -функции вида

$$\chi^2\{f(\mathbf{r} - \mathbf{r}_0)\} = \frac{1}{N(X, y, z)} \times \sum_{\{X, y, z\}} \sum_{\Phi} (I_{h,obs}\{X, y, z; \theta_B, \Phi\} - I_{h,calc}\{X, y, z; \theta_B, \Phi\})^2 = \text{Min}, \quad (12)$$

будем использовать итерационные алгоритмы моделирования отжига [14] и квазиньютоновского спуска [15, 16], адаптированные применительно к решению обратной задачи ДРТТ.

В (12)  $I_{h,obs}\{X, y, z; \theta_B, \Phi\}$  есть модельная (наблюдаемая) ДРТ-проекция, отвечающая значению угла наклона  $\Phi$ , а  $I_{h,calc}\{X, y, z; \theta_B, \Phi\}$  рассчитывается по формуле (10) в соответствии с выбранным итерационным алгоритмом, начиная с некоторой стартовой функции поля смещений  $f_{in}(\mathbf{r} - \mathbf{r}_0)$ .

**КОМПЬЮТЕРНАЯ 3D-РЕКОНСТРУКЦИЯ ФУНКЦИИ СМЕЩЕНИЙ ТОЧЕЧНОГО ДЕФЕКТА НА ОСНОВЕ ПРИМЕНЕНИЯ МЕТОДОВ СИМУЛИРОВАННОГО ОТЖИГА И КВАЗИНЬЮТОНОВСКОГО СПУСКА**

*Моделирование на основе алгоритма симулированного отжига.* Как известно [14], алгоритм симулированного отжига (SA) широко применяется для минимизации нелинейных целевых функций и является одним из эффективных методов для решения задачи с большим количеством переменных и комбинаторной природой итерационных вычислений.

Стартуя с заданной в качестве начального приближения модели и варьируя ее параметры псевдослучайным образом, программа SA работает до достижения наилучшей сходимости расчетной модели с наблюдаемыми данными ДРТ-проекции дефекта (минимум целевой  $\chi^2$ -функции (12)).

Будем различать два состояния системы – функции поля смещений  $f(\mathbf{r} - \mathbf{r}_0)$ : текущее и проб-

ное значения функции  $f(\mathbf{r} - \mathbf{r}_0)$ . В итерационном процессе текущее состояние, становясь пробным, служит в дальнейшем в качестве нового текущего состояния системы.

Псевдослучайное изменение системы применяется к текущему состоянию, которое затем становится пробной функцией  $f(\mathbf{r} - \mathbf{r}_0)$ . Вероятность принятия пробной функции в качестве новой текущей определяется значением больцмановской функции  $\exp(-\Delta\chi^2/T)$ , где  $\Delta\chi^2$  – изменение целевой функции,  $T$  – параметр, называемый температурой отжига. Выбор нового текущего состояния системы существенно зависит от значения  $T$ . Легко видеть, что более высокая температура означает более высокую вероятность  $\exp(-\Delta\chi^2/T)$ , это позволяет принять пробную модель в качестве новой текущей даже в случае худшего пробного приближения в сравнении с текущим, когда  $\Delta\chi^2 > 0$ . Но если  $\Delta\chi^2 < 0$ , то пробная модель всегда принимается в качестве новой текущей. В начале итерационной минимизации целевой  $\chi^2$ -функции температура  $T$  выбирается достаточно высокой, так что частота принятия худшего состояния системы в качестве текущего в 10–100 раз превышает частоту обновления лучших состояний системы (другими словами, изменения системы носят почти случайный характер). Это заставляет программу SA “блуждать” по пространству поиска минимальных значений функции системы  $f$ . В принципе, программа SA может преодолевать локальные минимумы целевой  $\chi^2$ -функции, которые являются одним из главных препятствий для многих других нелинейных методов минимизации целевой  $\chi^2$ -функции, например, для градиентных методов спуска [15, 16].

В итерационном процессе минимизации целевой  $\chi^2$ -функции температура  $T_{n+1}$  на следующем после предыдущего  $n$ -шага (внешний цикл по  $n$ ) снижается монотонно как  $T_{n+1} = FT_n$ , где коэффициент отжига  $F$  равен 0.9–0.95, а значение целевой  $\chi^2$ -функции уменьшается аналогично тому, как снижается внутренняя энергия системы в процессе понижения температуры (так называемая машина Больцмана). По этой причине программа-алгоритм SA получила название “симулированного отжига” (алгоритм Метрополиса [18]). В табл. 1 представлены детали протокола итерационной программы SA согласно [14, 18].

Для простоты все последующие результаты расчетов приводятся в безразмерных координатах. Положение точечного дефекта задается радиус-вектором  $\mathbf{r}_0, \mathbf{r}_0 = \mathbf{nt}/2, \mathbf{n}$  – внутренняя нормаль к входной поверхности кристалла  $z = 0$ . Толщина  $t$  модельного кристалла Si(111) выбрана такой, что поглощением рентгеновского излучения в образце можно пренебречь.

**Таблица 1.** Протокол использования итерационной программы-алгоритма SA

| Последовательные стадии протокола SA   | Программа-алгоритм SA – функциональные стадии  |
|--|--|
| Инициализация<br>число элементов системы $\{i, j, k\}$<br>температура $T_1 = T_{in}$<br>целевая функция $\chi_{1,1}^2 = \chi_{in}^2$ | $N$ – номер итерации внешнего цикла по температуре $T_n$<br>$m$ – номер итерации внутреннего цикла (при фиксированном значении температуры $T_n$ система $f_{1,1}(\{i, j, k\}) = f_{in}(\{i, j, k\})$ ,<br>$n = (1, 2, \dots, N)$ , $N = 200$ – число внешних циклов по $T$<br>$m = (1, 2, \dots, M)$ , $M = 500000$ – число внутренних циклов<br>$T_{n+1} = T_n * F$ , $F = 0.95$ |
| Итерации $n = (1, 2, \dots, N)$ , $N = 200$<br>для каждого номера итерации $n$<br>и номера в цикле по $m$                            | $f_{m+1,n} = f_{m,n}(\{i, j, k\}) \mid U\{i, j, k\} \rightarrow \hat{U}\{i, j, k\}$<br>для одного произвольно выбранного элемента $U\{i, j, k\}$ ;<br>изменение энергии системы $\Delta_{m,n} = \chi_{m+1,n}^2(f_{m+1,n}) - \chi_{m,n}^2(f_{m,n})$   |
| Алгоритм SA<br>внутренний цикл<br>по $m = (1, 2, \dots, M)$ , $M = 500000$   | $\Delta_{m,n} < 0$ : безусловно принимается пробная модель $f_{m+1,n}$ ;<br>$\Delta_{m,n} > 0$ : принимается пробная модель $f_{m+1,n}$ , если вероятность $W_{m,n} = \exp(-\Delta_{m,n}/T_n)$ больше случайно генерируемого числа в единичном интервале чисел $[0, 1]$ .<br>В обратном случае принимается модель $f_{m,n}$  |
| Внешний цикл по $n = (1, 2, \dots, N)$ ,<br>если $N = 200$ – остановка работы программы SA   | Если частота $\nu$ успешных изменений системы $f_{m,n}$ на данной температуре $T_n$ такая, что $\nu > M/10$ , программа переходит на следующий шаг по температуре $T_{n+1}$ внешнего цикла.<br>Если частота $\nu < 50$ при значении текущей температуры $T_n$ и/или $n = N$ , программа SA выходит из режима работы, сохраняя последнее состояние системы $f_{m,n}$                |

На первом этапе решения обратной задачи ДРТГ программа SA была протестирована на примере минимизации целевой  $\chi^2$ -функции в случае одной 2D-проекции, когда в формуле (12) остается одно слагаемое с  $\Phi = 0$ , а именно:

$$\chi^2 = 1/N \{X, y, z\} \sum_{\{X, y, z\}} (I_{h,obs}\{X, y, z; \theta_B, 0\} - I_{h,calc}\{X, y, z; \theta_B, 0\})^2 = \text{Min}, \quad (13)$$

$$I_{h,calc}\{X, y, z; \theta_B, 0\} = |E_h\{X, y, z; \theta_B, 0\}|^2,$$

где  $I_{h,obs}\{X, y, z; \theta_B, 0\}$  наблюдаемая (модельная) 2D-проекция, рассчитанная на основе формулы (10) с учетом теоретической функции смещений (11) при значении масштабирующего коэффициента  $G = 1$ , а интенсивность  $I_{h,calc}\{X, y, z; \theta_B, 0\}$  рассчитывается по формуле (10) с пробными функциями смещений в процессе итерационной минимизации целевой  $\chi^2$ -функции (13).

Отметим, что масштабирующий коэффициент  $G$  в формуле (11) можно выбрать равным единице за счет соответствующего выбора шага дискретной пространственной сетки координат в кристалле, на которой задается функция поля смещений  $f(\mathbf{r} - \mathbf{r}_0)$ .

Кроме того, преследуя цель оценить степень сходимости итерационного процесса минимизации целевой  $\chi^2$ -функции к правильной (теоретической) функции  $f_{obs}(\mathbf{r} - \mathbf{r}_0)$  (см. (11)), будем использовать контрольный параметр (CP), который определяется как

$$CP = 1/N \{X, y, z\} \times \sum_{\{X, y, z\}} \frac{|f_{obs}\{X, y, z; \theta_B, 0\} - f_{calc}\{X, y, z; \theta_B, 0\}|}{|f_{obs}\{X, y, z; \theta_B, 0\}|} \quad (14)$$

и представляет собой среднестатистическую оценку относительного отклонения текущего решения от истинного решения.

Для случая наблюдаемой 2D-проекции ДРТ (рис. 3) результаты компьютерной 3D-реконструкции функции смещений  $f(\mathbf{r} - \mathbf{r}_0)$  для различных пространственных сеток, на которых она определена, а также ее различных линейных комбинаций в качестве стартовых функций с индексами убывания  $\{p_i\}$  в интервале значений  $i = 1-4$  представлены в табл. 2.

Диапазон поиска каждого индекса убывания  $\{p_i\}$ ,  $i = 1-4$ , в части действия алгоритма SA (внут-



ренный цикл, табл. 1) задавался с равной вероятностью в интервале чисел 0.0–3.0.

Как видно из табл. 2, в случае одного индекса убывания  $\{p_i\}$ ,  $i = 1$ , в качестве стартового значения теоретическое решение для функции смещений  $f(\mathbf{r} - \mathbf{r}_0)$  с индексом убывания  $p = 1.5$  достигается с точностью, по крайней мере  $CP = 10^{-6}$ , в то время как для большего, чем единица, числа индексов убывания  $\{p_i\}$ ,  $i = 1-4$ , теоретическое решение достигается с точностью порядка  $CP = 10^{-2}$ .

На практике представляет интерес 3D-реконструкция функции поля смещений  $f(\mathbf{r} - \mathbf{r}_0)$  дефекта в кристалле без необходимости его описания в аналитической форме. В отличие от случая, описанного выше, будем рассматривать функцию  $f(\mathbf{r} - \mathbf{r}_0)$  в каждом узле дискретной пространственной сетки как искомый параметр. При этом будут использованы только свойства симметрии функции  $f(\mathbf{r} - \mathbf{r}_0)$  по координатам  $x - x_0$ ,  $y - y_0$ ,  $z - z_0$ , а также “включено” требование монотонного убывания с увеличением расстояний  $|y - y_0|$  и/или  $|z - z_0|$ .

Наблюдаемая 2D-проекция ДРТ от тонкого (непоглощающего) кристалла Si(111) (рис. 3) рассчитана на основе формулы (10) с учетом (11) на пространственной сетке, состоящей из  $15 \times 15 \times 15$  узлов. Видно, что проекция является симметричной относительно координаты  $y$  и в направлении распространения дифрагированной волны сдвигается от центра вдоль координаты  $x$  как целое на величину  $t/2 \times \text{tg } \theta_B$  (в данном случае этот сдвиг равен  $4/3$  в безразмерных координатах  $x$  и  $z$ ).

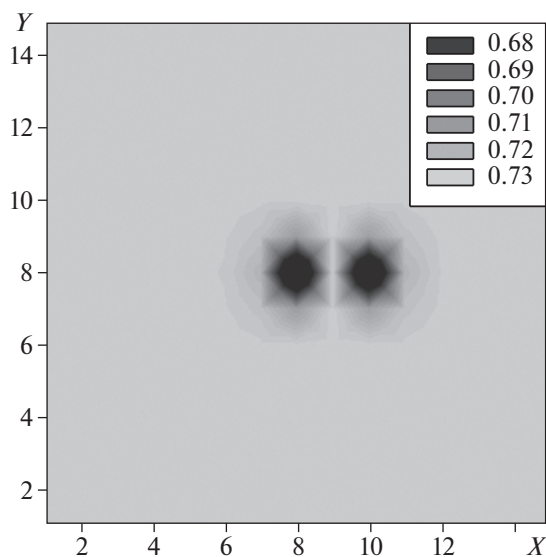


Рис. 3. Наблюдаемая 2D-проекция ДРТ кристалла Si(111) с точечным дефектом. Теоретическая функция поля смещений  $f(\mathbf{r} - \mathbf{r}_0)$  с индексом убывания  $p = 1.5$  задана в узлах пространственной сетки  $\{15, 15, 15\}$ .

Входные данные и результаты компьютерной 3D-реконструкции функции  $f(\mathbf{r} - \mathbf{r}_0)$  по данным наблюдаемой 2D-проекции ДРТ представлены в табл. 3. В первом столбце указаны пространственные сетки, на которых проводятся расчеты, жирным шрифтом (здесь и далее) выделены номера плоскостей вдоль оси  $z$ , в которых значения функции  $f(\mathbf{r} - \mathbf{r}_0)$  варьируются, в то время как в остальных плоскостях они фиксированы в соот-

Таблица 2. Компьютерная 3D-реконструкция функции поля смещений  $f(\mathbf{r} - \mathbf{r}_0)$  для точечного дефекта кулоновского типа в кристаллах с использованием алгоритма SA. Входные данные и результаты расчетов

| Пространственная сетка $\{i, j, k\}$ | Стартовые значения       |                           |      | Конечные значения            |                           |                      |
|--------------------------------------|--------------------------|---------------------------|------|------------------------------|---------------------------|----------------------|
|                                      | $p_i, \{i = 1-4\}$       | Целевая $\chi^2$ -функция | CP   | $p_i, \{i = 1-4\}$           | Целевая $\chi^2$ -функция | CP                   |
| $\{21, 21, 21\}$                     | $\{0.9\}$                | 0.77                      | 0.79 | $\{1.5\}$                    | $1 \times 10^{-7}$        | $6 \times 10^{-7}$   |
| $\{21, 21, 21\}$                     | $\{0.5, 1.0, 1.8\}$      | 0.48                      | 0.95 | $\{1.51, 1.47, 1.52\}$       | $3 \times 10^{-4}$        | $5 \times 10^{-3}$   |
| $\{21, 21, 21\}$                     | $\{0.9, 1.2, 1.8, 2.1\}$ | 1.43                      | 0.99 | $\{1.51, 1.50, 1.49, 1.50\}$ | $6 \times 10^{-3}$        | $1 \times 10^{-2}$   |
| $\{41, 41, 41\}$                     | $\{0.9\}$                | 0.79                      | 1    | $\{1.5\}$                    | $8 \times 10^{-7}$        | $4 \times 10^{-7}$   |
| $\{41, 41, 41\}$                     | $\{0.5, 1.0, 1.8\}$      | 0.48                      | 0.96 | $\{1.49, 1.49, 1.52\}$       | $3 \times 10^{-4}$        | $1 \times 10^{-2}$   |
| $\{41, 41, 41\}$                     | $\{0.9, 1.2, 1.8, 2.1\}$ | 1.44                      | 1    | $\{1.48, 1.54, 1.49, 1.49\}$ | $3 \times 10^{-3}$        | $1.4 \times 10^{-2}$ |

Примечание. Функция поля смещений  $f(\mathbf{r} - \mathbf{r}_0)$  ищется в виде аналитического выражения с индексом убывания  $\{p_i\}$ ,  $i = 1-4$ . Время одного расчета составляет 10–12 ч на персональном компьютере с процессором IntelCore 2, 2.24 ГГц.

**Таблица 3.** Компьютерная 3D-реконструкция функции поля смещений  $f(\mathbf{r} - \mathbf{r}_0)$  для точечного дефекта кулоновского типа в кристалле с использованием алгоритма SA. Входные данные и результаты расчетов

| Пространственная сетка $\{i, j, k\}$ | Стартовые значения |                           |        | Конечные значения         |        |
|--------------------------------------|--------------------|---------------------------|--------|---------------------------|--------|
|                                      | $p_{ini}$          | Целевая $\chi^2$ -функция | СР     | Целевая $\chi^2$ -функция | СР     |
| $\{15, 15, 1-6   7-9   10-15\}$      | 1.55               | $1.67 \times 10^{-2}$     | 0.0161 | $1.31 \times 10^{-5}$     | 0.0171 |
| $\{15, 15, 1-5   6-10   11-15\}$     | 1.55               | $1.56 \times 10^{-2}$     | 0.0273 | $2.94 \times 10^{-6}$     | 0.029  |
| $\{15, 15, 15\}$                     | 1.55               | $1.42 \times 10^{-2}$     | 0.0658 | $2.63 \times 10^{-8}$     | 0.118  |

Примечание. Искомая функция поля смещений  $f(\mathbf{r} - \mathbf{r}_0)$  задается в численном виде. Время одного расчета составляет 5–6 ч на персональном компьютере с процессором Intel Core 2, 2.24 ГГц.

ветствии с теоретическим индексом убывания  $p = 1.5$ .

Из табл. 3 видно, что в случае пространственной сетки  $\{15, 15, 15\}$  удается снизить значение целевой  $\chi^2$ -функции более чем на 6 порядков, в то время как контрольный параметр СР растет до 0.118 против стартового значения, равного 0.0658.

Вероятно, это может происходить по двум причинам, первая из которых – неоднозначность решения обратной задачи ДРТГ. Такой вывод следует, в частности, из того факта, что в случае перехода к пространственным сеткам с меньшим числом узлов по толщине кристалла контрольный параметр СР уменьшается.

Вторая причина заключается в эффективности работы самого алгоритма SA для минимизации целевой  $\chi^2$ -функции. Расчеты показывают, что, если вместо минимизации целевой  $\chi^2$ -функции (13) применяется алгоритм SA для минимизации СР-функции, согласно (14), значение параметра СР уменьшается только примерно в 2 раза, например, для пространственной сетки  $\{15, 15, 15\}$  параметр СР изменяется от 0.0658 до 0.0371, в то время как его значение должно было бы снизиться до нуля в предположении, что алгоритм SA работает эффективно.

*Моделирование на основе алгоритма квазиньютоновского спуска.* Для сравнения с результатами, полученными с использованием алгоритма SA, был применен для минимизации целевой  $\chi^2$ -функции (13) алгоритм квазиньютоновского спуска по схеме Левенберга–Маркварда. Был использован программный код NL2SNO, имеющийся в открытом доступе (подробнее в [15, 16, 19], вариант NL2SOL с расчетом градиентов по методу конечных разностей).

Результаты минимизации целевой  $\chi^2$ -функции (13) с использованием алгоритма квазиньютонов-

ского спуска для различных пространственных сеток и различных стартовых значений индекса убывания  $p_{ini}$  функции  $f(\mathbf{r} - \mathbf{r}_0)$  представлены в табл. 4. Обозначения для идентификации пространственных сеток приняты аналогично тому, как это сделано в табл. 3. Видно, что для двух пространственных сеток  $\{15, 15, 1-6 | 7-9 | 10-15\}$  и  $\{15, 15, 1-5 | 6-10 | 11-15\}$  удается достичь значений контрольного параметра СР  $\sim 5 \times 10^{-5}$  при конечных значениях целевой  $\chi^2$ -функции порядка  $10^{-22}$ .

Отметим, что в случае пространственной сетки  $\{15, 15, 15\}$  и различных стартовых значений индекса убывания  $p_{ini}$  контрольный параметр СР практически не уменьшается по сравнению со стартовым СР, а в некоторых случаях даже растет.

Как показывают расчеты, последнее обстоятельство можно преодолеть, если последовательно использовать итерационную схему, корректируя при каждой итерации значения функции  $f(\mathbf{r} - \mathbf{r}_0)$  в периферийной области от центра точечного дефекта. Детали расчетов с использованием корректировки значений функции  $f(\mathbf{r} - \mathbf{r}_0)$  периферийных областях пространственной сетки выходят за рамки данной работы и являются отдельной темой будущего исследования.

На рис. 4 приведены сечения трехмерной функции  $f(\mathbf{r} - \mathbf{r}_0)$  в плоскостях  $z = \text{const}$  для значений  $z = 6, 8, 10$  ( $z = 8$  – центральное сечение).

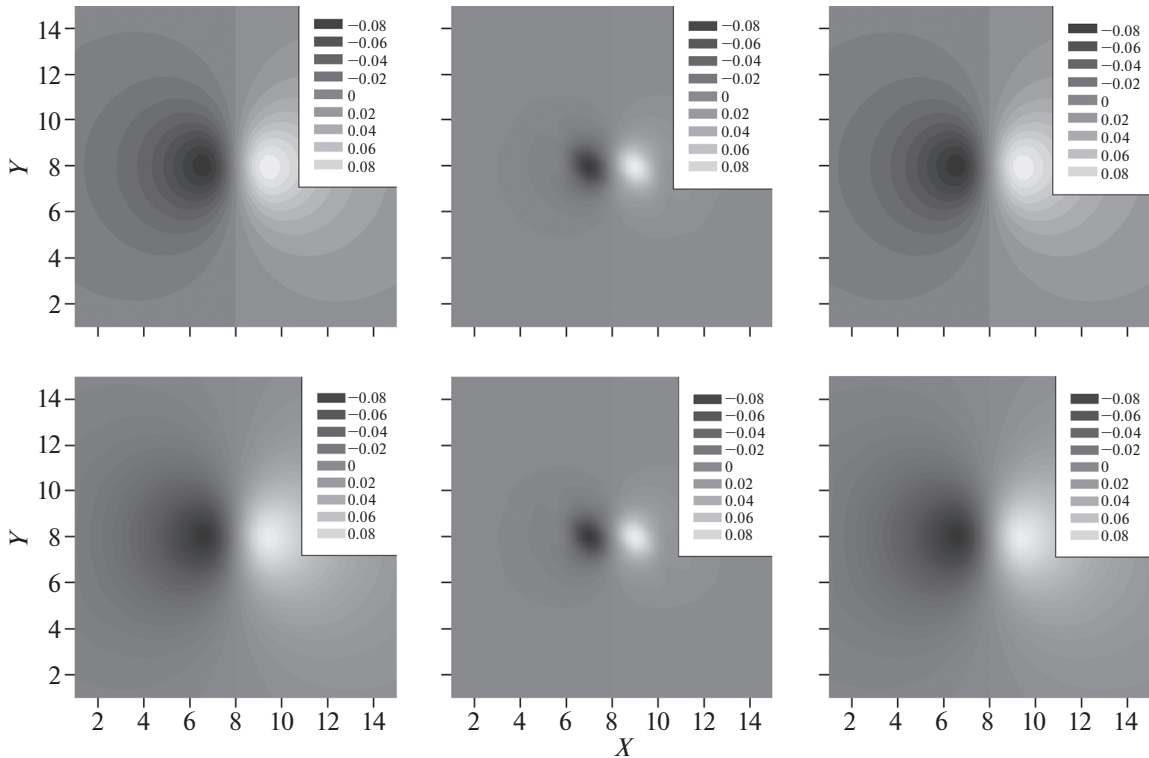
Верхние рисунки 4а, 4б, 4в – сечения теоретической 3D-функции  $f(\mathbf{r} - \mathbf{r}_0)$ , индекс убывания  $p = 1.5$ , нижние – сечения 3D-функции  $f(\mathbf{r} - \mathbf{r}_0)$  как результат компьютерной 3D-реконструкции с использованием метода квазиньютоновского спуска. Наилучшее согласие соответствующих изображений имеет место для центрального сечения  $z = 8$ . В принципе, это может означать, что



**Таблица 4.** Результаты компьютерной 3D-реконструкции функции поля смещений  $f(\mathbf{r} - \mathbf{r}_0)$  для точечного дефекта кулоновского типа в кристалле с использованием алгоритма квазиньютоновского спуска

| Пространственная сетка $\{i, j, k\}$ | Стартовые значения |                           |                       | Конечные значения         |   |
|--------------------------------------|--------------------|---------------------------|-----------------------|---------------------------|---|
|                                      | $P_{ini}$          | Целевая $\chi^2$ -функция | СР                    | Целевая $\chi^2$ -функция | СР                                      |
| {15, 15, 1–6   7–9   10–15}          | 5.0                | $8.24 \times 10^{-3}$     | $8.30 \times 10^{+2}$ | $3.76 \times 10^{-6}$     | 1.374                                   |
|                                      | <b>3.0</b>         | $4.54 \times 10^{-5}$     | 2.581                 | $4.46 \times 10^{-9}$     | <b><math>8.07 \times 10^{-2}</math></b> |
|                                      | <b>2.0</b>         | $6.32 \times 10^{-9}$     | 0.211                 | $5.27 \times 10^{-14}$    | <b><math>4.37 \times 10^{-2}</math></b> |
|                                      | <b>1.55</b>        | $2.52 \times 10^{-11}$    | $1.77 \times 10^{-2}$ | $5.67 \times 10^{-14}$    | <b><math>1.81 \times 10^{-2}</math></b> |
|                                      | <b>1.45</b>        | $1.21 \times 10^{-11}$    | $1.71 \times 10^{-2}$ | $6.88 \times 10^{-21}$    | <b><math>4.90 \times 10^{-6}</math></b> |
|                                      | 1.00               | $8.79 \times 10^{-11}$    | 0.112                 | $5.74 \times 10^{-13}$    | 0.116                                   |
|                                      | 0.50               | $7.21 \times 10^{-11}$    | 0.155                 | $3.67 \times 10^{-13}$    | 0.132                                   |
|                                      | 0.05               | $7.02 \times 10^{-11}$    | 0.174                 | $3.45 \times 10^{-13}$    | 0.128                                   |
|                                      | 5.0                | $8.24 \times 10^{-3}$     | $8.30 \times 10^{+2}$ | $3.76 \times 10^{-6}$     | 1.374                                   |
|                                      | <b>3.0</b>         | $4.54 \times 10^{-5}$     | 2.581                 | $4.46 \times 10^{-9}$     | <b><math>8.07 \times 10^{-2}</math></b> |
| {15, 15, 1–5   6–10   11–15}         | 5.0                | $1.71 \times 10^{-2}$     | $2.09 \times 10^{+3}$ | $3.39 \times 10^{-5}$     | 3.066                                   |
|                                      | 3.0                | $6.29 \times 10^{-5}$     | 5.291                 | $3.01 \times 10^{-8}$     | 0.249                                   |
|                                      | <b>2.0</b>         | $8.47 \times 10^{-9}$     | 0.408                 | $1.57 \times 10^{-14}$    | <b><math>6.69 \times 10^{-2}</math></b> |
|                                      | <b>1.55</b>        | $2.82 \times 10^{-11}$    | $2.92 \times 10^{-2}$ | $2.14 \times 10^{-22}$    | <b><math>2.70 \times 10^{-3}</math></b> |
|                                      | <b>1.45</b>        | $1.47 \times 10^{-11}$    | $2.79 \times 10^{-2}$ | $9.56 \times 10^{-28}$    | <b><math>6.00 \times 10^{-4}</math></b> |
|                                      | 1.00               | $1.29 \times 10^{-10}$    | 0.185                 | $5.61 \times 10^{-13}$    | 0.212                                   |
|                                      | 0.50               | $1.07 \times 10^{-10}$    | 0.260                 | $2.32 \times 10^{-13}$    | 0.226                                   |
|                                      | 0.05               | $1.00 \times 10^{-10}$    | 0.291                 | $1.74 \times 10^{-12}$    | 0.231                                   |
|                                      | 5.0                | $1.94 \times 10^{-02}$    | $2.46 \times 10^{+3}$ | $9.74 \times 10^{-06}$    | 46.2                                    |
|                                      | 3.0                | $4.92 \times 10^{-05}$    | 1.047                 | $1.20 \times 10^{-08}$    | 8.771                                   |
| {15, 15, 15}                         | 2.0                | $5.39 \times 10^{-09}$    | 1.011                 | $9.59 \times 10^{-16}$    | 0.692                                   |
|                                      | 1.55               | $2.42 \times 10^{-11}$    | $7.06 \times 10^{-2}$ | $5.03 \times 10^{-24}$    | 0.119                                   |
|                                      | <b>1.52</b>        | $3.31 \times 10^{-12}$    | $2.82 \times 10^{-2}$ | $3.33 \times 10^{-17}$    | <b><math>4.46 \times 10^{-2}</math></b> |
|                                      | <b>1.48</b>        | $2.46 \times 10^{-12}$    | $2.72 \times 10^{-2}$ | $6.38 \times 10^{-27}$    | <b><math>4.24 \times 10^{-2}</math></b> |
|                                      | 1.45               | $1.24 \times 10^{-11}$    | $6.65 \times 10^{-2}$ | $7.99 \times 10^{-17}$    | 0.107                                   |
|                                      | 1.00               | $1.36 \times 10^{-10}$    | 0.476                 | $4.30 \times 10^{-14}$    | 0.694                                   |
|                                      | 0.50               | $1.48 \times 10^{-10}$    | 0.704                 | $1.40 \times 10^{-13}$    | 0.778                                   |
|                                      | 0.05               | $1.49 \times 10^{-10}$    | 0.814                 | $1.87 \times 10^{-12}$    | 0.659                                   |

Примечание. Время одного расчета составляет 0.5 часа на персональном компьютере с процессором IntelCore 2, 2.24 ГГц.



**Рис. 4.** Сечения 3D-функции поля смещений точечного дефекта  $f(\mathbf{r} - \mathbf{r}_0)$  в плоскостях  $z = \text{const}$ . В безразмерных единицах:  $z = 6$  (а),  $z = 8$  (центральное сечение (б)),  $z = 10$  (в). Верхняя панель – сечения теоретической 3D-функции поля смещений  $f(\mathbf{r} - \mathbf{r}_0)$ , индекс убывания  $p = 1.5$ ; нижняя панель – сечения 3D-функции поля смещений  $f(\mathbf{r} - \mathbf{r}_0)$ , восстановленной в узлах пространственной сетки  $\{15, 15, 15\}$  с использованием алгоритма квазиньютоновского спуска.

наилучшим образом удастся восстановить 3D-функцию  $f(\mathbf{r} - \mathbf{r}_0)$  в области непосредственно вблизи центра дефекта.

## ЗАКЛЮЧЕНИЕ

Развит последовательный подход к решению обратной задачи ДРТТ. Предложено полукинематическое приближение для решения уравнений Такаги–Топена, соответствующего дифракционному рассеянию рентгеновских лучей в сильно искаженной области вблизи дефекта в кристалле.

Для решения обратной задачи ДРТТ были использованы итерационные алгоритмы моделирования отжига и квазиньютоновского спуска, приведены результаты компьютерной 3D-реконструкции функции поля смещений точечного дефекта  $f(\mathbf{r} - \mathbf{r}_0)$ . Показано, что использованные в работе алгоритмы при определенных ограничениях на класс функций, на котором ищется функция  $f(\mathbf{r} - \mathbf{r}_0)$ , работают в случае одной 2D-проекции ДРТ, что позволяет восстановить теоретическую 3D-функцию поля смещений  $f(\mathbf{r} - \mathbf{r}_0)$ , заданную как в аналитической форме, так и в

численном виде в узлах пространственной сетки кристаллической пластины.

Проведенные предварительные расчеты показали, что алгоритм квазиньютоновского спуска допускает определенную возможность улучшить работу итерационной схемы, корректируя при каждой итерации значения 3D-функции  $f(\mathbf{r} - \mathbf{r}_0)$  в узлах пространственной сетки в периферийной области на некотором расстоянии от центра точечного дефекта.

Представляется весьма вероятным, что сходимость процесса минимизации целевой  $\chi^2$ -функции с использованием алгоритма квазиньютоновского спуска также должна улучшиться в случае использования набора наблюдаемых наклонных 2D-проекций (общая формула (12)), что является немаловажным обстоятельством для фильтрации шумов и практической обработки 2D-проекций в условиях ДРТТ.

Авторы выражают благодарность В.Е. Асадчикову за обсуждения и полезные замечания, сделанные им в ходе выполнения данной работы.

Работа выполнена при поддержке Министерства науки и высшего образования в рамках выполнения работ по Государственному заданию ФНИЦ “Кристаллография и фотоника” РАН в

области развития методов исследования структуры с помощью рентгеновского и синхротронного излучений.

## СПИСОК ЛИТЕРАТУРЫ

1. Инденбом В.Л., Чуховский Ф.Н. // УФН. 1972. Т. 107. Вып. 2. С. 229.
2. Epeboin Y. // Acta Cryst. A. 1975. V. 31. P. 591.
3. Authier A. Dynamical theory of X-ray diffraction. Oxford: University press, 2003. 513 p.
4. Смирнова И.А., Суворов Э.В., Шулаков Е.В. // ФТТ. 2007. Т. 49. Вып. 6. С. 1050.
5. Шульпина И.Л., Прохоров И.А. // Кристаллография. 2012. Т. 57. № 5. С. 740.
6. Беседин И.С., Чуховский Ф.Н., Асадчиков В.Е. // Кристаллография. 2014. Т. 59. № 3. С. 365.
7. Takagi S. // Acta Cryst. 1962. V. 15. P. 1311.
8. Taupin D. // Bull. Soc. Fr. Mineral. 1961. V. 84. P. 51.
9. Ludwig W., Cloetens P., Härtwig J. et al. // J. Appl. Cryst. 2001. V. 34. P. 602.
10. Kawado S., Taishi T., Iida S. et al. // J. Synchrotron Rad. 2004. V. 11. P. 304.
11. Золотов Д.А., Бузмаков А.В., Асадчиков В.Е. и др. // Кристаллография. 2011. Т. 56. № 3. С. 426.
12. Золотов Д.А., Бузмаков А.В., Елфимов Д.А. и др. // Кристаллография. 2017. Т. 62. № 1. С. 12.
13. Календер В. Компьютерная томография. Основы, техника, качество изображений в области клинического использования. М.: Техносфера, 2006. 344 с.
14. Kirkpatrick S., Gelatt C.D., Vecchi M.P. // Science. 1983. V. 220. P. 671.
15. Gill P.E., Murray W., Wright M.H. Practical Optimization. London: Academic Press. 1981. 401 p.
16. Dennis J., Gay D., Welsch R. // ACM Trans. Math. Soft. 1981. V. 7. P. 348.
17. Asadchikov V., Besedin I., Buzmakov A. et al. // Acta Cryst. A. 2014. V. 70. P. C1132.
18. Metropolis N., Rosenbluth A.W., Rosenbluth M.N. et al. // J. Chem. Phys. 1953. V. 21(6). P. 1087.
19. More J.J. // The Levenberg-Marquardt algorithm, implementation and theory. Springer Lecture Notes in Mathematics № 630 / Ed. Watson G.A. Berlin; New York: Springer-Verlag, 1978. P. 105.